

А.И. Надеждинский¹, Ш.Ш. Набиев², Г.Ю. Григорьев²,
И.Е. Вязов¹, С.Л. Малюгин², Ю.Н. Пономарев³,
Я.Я. Понуровский¹, Д.Б. Ставровский¹, Д.А. Болясов⁴

Экспресс-методы измерения степени обогащения гексафторида урана и следовых количеств UF_6 и HF в атмосфере на основе диодных лазеров ближнего и среднего ИК-диапазона

¹ Центр естественно-научных исследований Института общей физики им. А.М. Прохорова РАН,

² Институт молекуллярной физики Российской научного центра «Курчатовский институт», г. Москва

³ Институт оптики атмосферы СО РАН, г. Томск

⁴ Военный университет РХБ защиты, г. Москва

Поступила в редакцию 10.06.2005 г.

Показано, что использование принципов диодной лазерной спектроскопии позволяет с успехом проводить измерения изотопного состава газообразного гексафторида урана и следовых количеств HF и UF_6 . Создан и прокалиброван лабораторный макет на базе диодного лазера (ДЛ), позволяющий измерять изотопический состав газообразного UF_6 с погрешностью менее 0,27%.

Продемонстрировано, что измеряемый порог концентраций для HF при использовании многоходовой кюветы С.М. Чернина и ДЛ ближнего ИК-диапазона (полоса v_2) составил менее 2 прб. При детектировании UF_6 с использованием ДЛ среднего ИК-диапазона ($\lambda \sim 7,6$ мкм) минимальное значение зарегистрированного поглощения пересчитывалось на оптическую трассу длиной ~ 50 м, величина концентрации составила ~ 250 прб. Проведена оценка чувствительности газоанализатора на UF_6 при использовании ДЛ на 16 мкм (полоса поглощения v_3), которая на длине $L \sim 50$ м составила менее 30 прт. Сделан вывод, что значения концентраций, полученные нами для исследованных молекул, являются приемлемыми для мониторинга атмосферы вблизи объектов атомной промышленности.

Введение

Измерение изотопного состава урана, находящегося в химической форме гексафторида UF_6 , — давно решенная задача. На разделительных предприятиях изотопный состав измеряется с высокой точностью с помощью специализированных масс-спектрометров. Также хорошо отложен метод измерения степени обогащения урана по гамма-спектруму. Поэтому, на первый взгляд, попытка измерения изотопного состава гексафторида урана с помощью диодной лазерной спектроскопии выглядит малополезной. Однако оказалось, что нет достаточно надежного, точного и, самое главное, экспрессного метода оценки степени обогащения UF_6 при проверке различных исследовательских лабораторий и установок, находящихся под контролем МАГАТЭ. Для проверки таких объектов инспекторы должны отобрать пробы, отправить их на анализ, дождаться результата и только после этого сделать вывод о проведении дополнительных проверок или каких-либо других действий. Однако для того чтобы исключить какие-либо действия проверяющей стороны в период ожи-

дания результатов, инспекторы хотели бы иметь оборудование, позволяющее на месте и за короткое время оценить степень обогащения UF_6 .

Кроме измерения изотопного состава урана в настоящее время все более актуальными становятся анализ и защита окружающей среды от загрязнений, связанных с крупномасштабными авариями на промышленных объектах. В первую очередь это касается предприятий ядерного топливного цикла (ЯТЦ), поэтому задачи оперативного контроля за газовыми и аэрозольными выбросами объектов атомной промышленности в атмосферу и в производственные помещения при работе указанных предприятий приобретают все возрастающее значение.

Этот факт можно объяснить усложнением экологической обстановки вокруг ядерных объектов и вполне оправданным ростом озабоченности населения в отношении неблагоприятных воздействий этих объектов на окружающую среду. Здесь речь идет о возможных последствиях аварийных ситуаций на производствах ЯТЦ, связанных не только с выбросами радиоактивных веществ, но и различных токсичных соединений [1]. Это стимулирует поиск новых

надежных методик и аппаратуры для экспресс-измерения концентрации химических и радиоактивных загрязнителей вследствие их опасного воздействия на природную флору и фауну, а также на здоровье и жизнедеятельность персонала таких предприятий.

При создании систем контроля за состоянием окружающей среды, включая воздушные бассейны крупных промышленных центров, акватории озер, рек, портов, морей и океанов, зеленые (лесные) массивы и др., все большее внимание стало уделяться оптическим (лазерным) методам зондирования. Эти методы характеризуются дистанционностью (от нескольких десятков метров до нескольких километров), высокими чувствительностью (несколько ppb) и оперативностью получения в реальном времени достаточно полной информации (от нескольких десятков секунд до нескольких минут) об изучаемой среде, в том числе с борта авиасообщения. При этом очевидно, что оперативность получения необходимых достоверных данных о состоянии окружающей среды в реальном масштабе времени крайне важна для быстрого принятия решений (особенно в случае тяжелых техногенных или природных катастроф).

Традиционные контактные методы контроля окружающей среды в подавляющем большинстве своем основаны на заборе проб (воздуха, воды, почвы, зеленой массы) и требуют наличия достаточно густой и разветвленной сети специально оборудованных пунктов для одновременных наблюдений. Кроме того, для получения результатов замеров с использованием имеющихся парков приборов, как правило, необходима длительная и часто трудоемкая работа в лабораторных условиях.

Для оперативного получения достоверных сведений о концентрации и химическом составе выбросов в условиях активного их взаимодействия с различными составляющими атмосферы одним из наиболее перспективных в настоящее время оптических методов является диодная лазерная спектроскопия (ДЛС). Оценки показывают, что газовые анализаторы дистанционного и локального типов, базирующиеся

на достижениях ДЛС, особенно с использованием диодных лазеров (ДЛ) нового поколения, в частности квантово-каскадных и VCSEL-лазеров, могут обеспечить чувствительность 1 ppb и меньше.

В данной статье приведены результаты исследования возможности надежной, точной и экспрессной оценки степени обогащения UF_6 с использованием ДЛ среднего ИК-диапазона. Разработаны аппаратные и программные средства для экспресс-измерения следовых количеств UF_6 и HF в атмосфере, а также представлены результаты по предварительному изучению процесса гидролиза UF_6 с помощью ДЛ ближнего и среднего ИК-диапазона в условиях, максимально приближенных к условиям реальной атмосферы.

1. Экспериментальная часть

Спектры ИК-поглощения UF_6 исследовались на Фурье-спектрометре Vector 22 со спектральным разрешением $0,75 \text{ cm}^{-1}$ с использованием кюветы длиной 10 см, снабженной окнами из дифторида бария диаметром 40 мм. Ряд спектров UF_6 был получен с помощью Фурье-спектрометра Bruker 66 со спектральным разрешением $0,2 \text{ cm}^{-1}$. Калибровка частотной шкалы спектрометра осуществлялась по спектрам поглощения CH_4 и C_2H_2 в этой области, а также по спектральным данным, взятым из HITRAN-2004.

Принцип измерения изотопного состава UF_6 достаточно близок к принципу измерения изотопного состава CO_2 и H_2O [2–4]. На рис. 1, *a* приведена блок-схема установки для измерения изотопного состава урана, находящегося в химической форме UF_6 . Основное отличие от описанных в [2–4] методик заключалось в том, что в данной работе использовались измерения интенсивности лазерного луча, прошедшего по трем каналам — измерительному, реперному и каналу интерферометра [5–8]. По сути, созданная установка представляла собой инфракрасный трехканальный спектрометр высокого разрешения на основе ДЛ, генерирующего в среднем ИК-диапазоне длин волн.

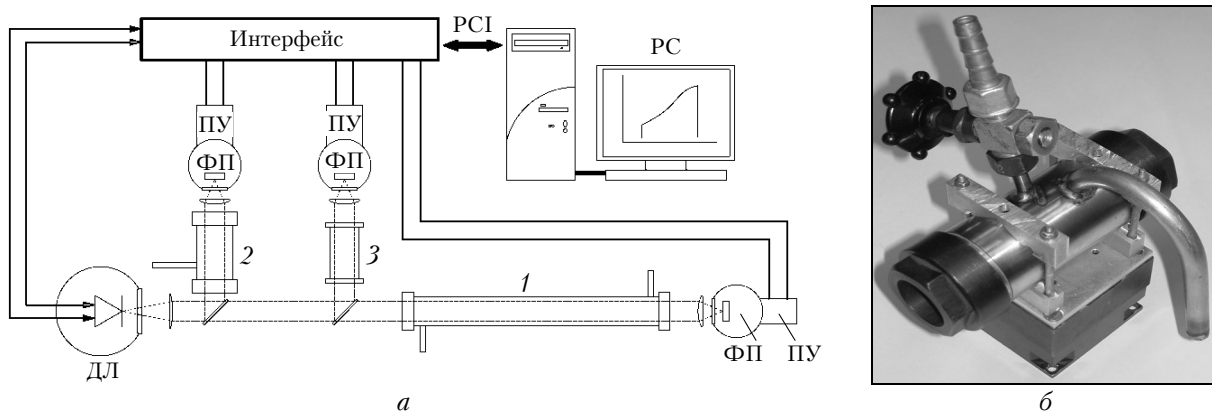


Рис. 1. Принципиальная блок-схема ДЛ спектрометра для измерения изотопного состава урана (*а*) и вид кюветы-контейнера для измерения спектров UF_6 (*б*): ДЛ — диодный лазер в криостате; 1 — аналитический канал для исследования спектров поглощения гексафторида урана и изотопического отношения $^{238}\text{UF}_6/^{235}\text{UF}_6$; 2 — реперный канал (стабилизация частоты излучения по линии поглощения реперного газа (CH_4) и абсолютная привязка частотной шкалы спектров поглощения); 3 — канал частотной калибровки (линеаризация частотной шкалы по интерферометру Фабри–Перо); ФП — фотоприемники в криостатах; PCI — шина передачи данных; ПУ — предусилители; PC — персональный компьютер

Диодный лазер, разработанный в ФИ РАН им. П.Н. Лебедева [9], генерировал на длине волны $\lambda = 7,68$ мкм. Лазер закреплялся на медный хладопровод, который устанавливался в криостат, охлаждаемый жидким азотом. Мощность излучения ДЛ составляла 300 мкВт. Накачка ДЛ осуществлялась импульсами тока трапециевидной формы. Величина импульса тока составляла $I_{\text{раб}} \sim 300$ мА, длительность импульса 4 ± 10 мс, частота повторения 40 Гц. Тонкое сканирование частоты ($\Delta\nu \sim 2 \text{ см}^{-1}$) при таком режиме генерации происходило за счет изменения эффективного показателя преломления активной области лазера в течение импульса тока накачки. Сканирование во всей области перестройки частоты ($\sim 40 \text{ см}^{-1}$) осуществлялось плавным изменением температуры кристалла лазера с помощью нагревания хладопровода и контролировалось двумя системами терmostабилизации. Приемники излучения (фотодиоды на основе CaHgTe), эффективно работающие в этом диапазоне длин волн, находились в криостатах и охлаждались жидким азотом.

Как уже упоминалось, в ДЛ-газоанализаторе использовались две системы стабилизации температуры лазера. В первой (основной) системе терmostабилизации был реализован пропорционально-интегральный закон регулирования температуры, который обеспечивал долговременную стабильность температуры лазерного кристалла на уровне $5 \cdot 10^{-3}$ °С в любой точке рабочего диапазона температур ($\Delta T \sim 79 \pm 115$ К). Система дополнительной стабилизации частоты излучения ДЛ, обеспечивающая долговременную стабильность частоты генерации ДЛ на уровне лучше $4 \cdot 10^{-4} \text{ см}^{-1}$, осуществлялась по линиям поглощения реперного газа. В качестве реперного газа использовался метан (CH_4).

Аналитический канал 1 был предназначен для проведения измерений концентрации UF_6 и изотопического отношения $^{238}\text{UF}_6/^{235}\text{UF}_6$. Он состоял из оптической кюветы длиной $L = 10$ см, вакуумно-газового стенда для приготовления смеси газов, напуска и контроля давления газа в оптических кюветах.

Реперный канал 2 предназначался для проведения абсолютной калибровки частотной шкалы спектров поглощения UF_6 и стабилизации частоты излучения по линии поглощения реперного газа. Для абсолютной привязки частоты использовались изолированные интенсивные колебательно-вращательные линии полосы v_4 метана. Данные параметров линий метана (частота, интенсивность линии, коэффициенты уширения и сдвига) брались из спектроскопической базы данных HITRAN-2004. Метан (класс чистоты 99,9%) находился в оптической ячейке длиной $L = 5$ см при давлении $P = 1,5$ мм рт. ст. Отношение сигнал-шум в спектрах поглощения метана в реперном канале составляло более 200, а после накопления и усреднения сигнала увеличивалось более чем на порядок. Большое значение полезного сигнала в сочетании с низким давлением газа позволяло определять центры почти доплеровских линий, не уширенных и не свинутых из-за давления, которые являлись абсолютными частотными реперами при линеаризации частотной шкалы спектров поглощения UF_6 .

В реперном канале также помещалась оптическая кювета ($L = 10$ см) с природным UF_6 (рис. 1, б) при давлении 75 мм рт. ст. Она использовалась в качестве реперной кюветы при определении в газовой пробе гексафторида урана концентрации UF_6 и величины изотопического отношения $^{238}\text{UF}_6/^{235}\text{UF}_6$.

Канал частотной калибровки 3 был предназначен для линеаризации частотной шкалы спектров поглощения исследуемого газа. Он состоял из интерферометра Фабри–Перо с областью свободной дисперсии $D^* = 0,04965 \text{ см}^{-1}$. Процедура линеаризации сводилась к построению перестроенной характеристики, переводящей временную шкалу спектров поглощения в ее частотный аналог. Для этого использовались значения центров максимумов поглощения резонатора Фабри–Перо и величина D^* . Заключительный этап – абсолютная привязка частотной шкалы по линиям поглощения реперного газа. После проведения линеаризации и частотной привязки погрешность определения центра линии в любой области спектрального диапазона рабочей моды ($\Delta\nu \sim 2 \text{ см}^{-1}$) была лучше $2 \cdot 10^{-4} \text{ см}^{-1}$.

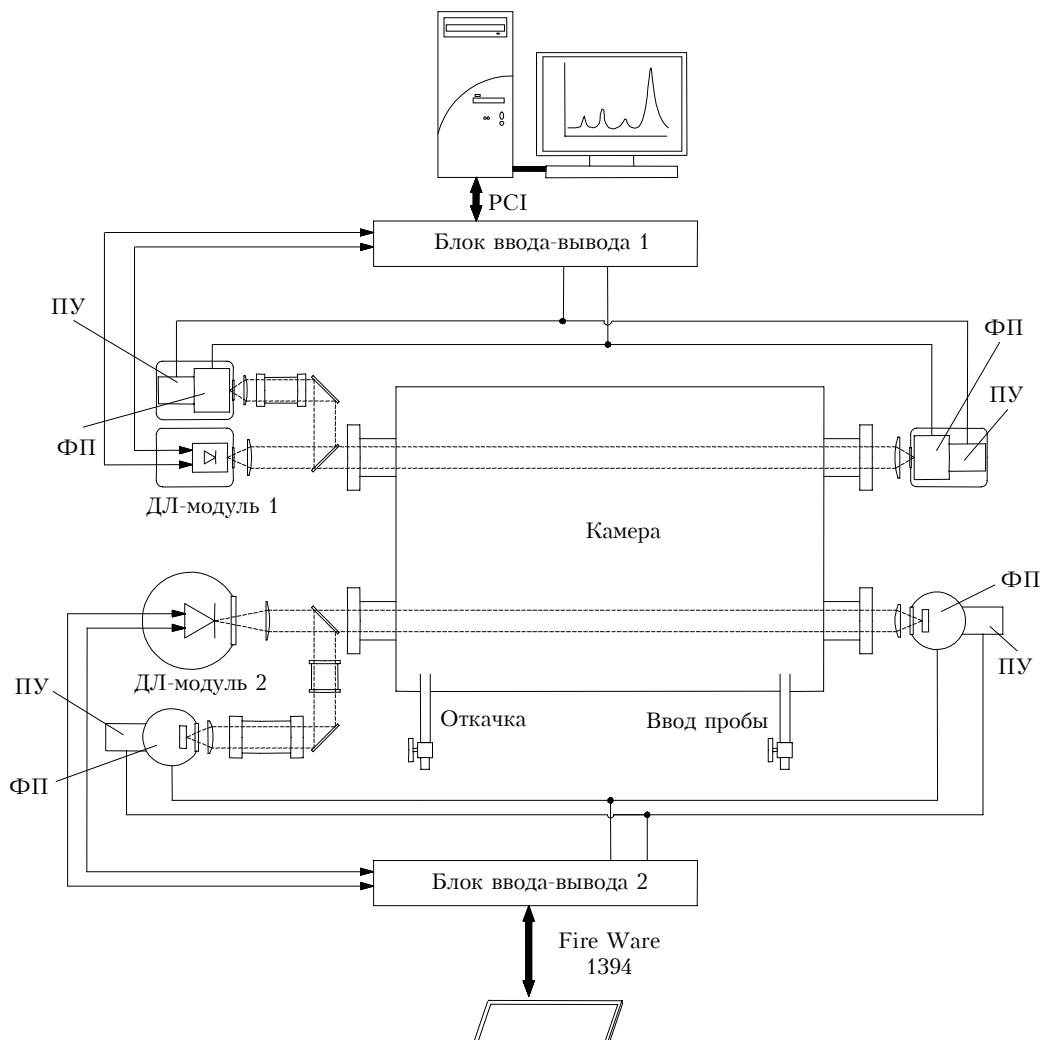
Для управления накачкой ДЛ, системами терmostабилизации, а также для регистрации сигналов и последующей их обработки использовалась многофункциональная ЦАП/АЦП плата NI PCI-6110 фирмы «National Instruments».

Частота дискретизации выборки в газоанализаторе составляла 1 МГц, длина выборки варьировалась от 800 до 2000, а количество накоплений – от 1 до 255. Отношение сигнал-шум на входе АЦП составляло $1-2 \cdot 10^4$. Управление газоанализатором, а также обработка сигналов производились при помощи программ, написанных с использованием драйверов фирмы «National Instruments» и вычислительного пакета NI LabView 7,0 [10].

Изучение процесса гидролиза UF_6 , а также измерение следовых количеств гексафторида урана и фтористого водорода проводились в условиях, максимально приближенных к условиям реальной атмосферы. Блок-схема установки для изучения процесса гидролиза UF_6 представлена на рис. 2, а, вид установки – на рис. 2, б.

Для имитации этих условий использовался закрытый бокс из нержавеющей стали емкостью 370 л, снабженный вентилятором и наполненный атмосферным воздухом ($P = 720$ мм рт. ст., $T = 299$ К, влажность 60%), в который впрыскивалась заранее приготовленная в отдельной емкости ($P = 4$ атм, $V = 5$ л) смесь UF_6 и чистого азота, после чего давление в боксе возрастало до $P = 750$ мм рт. ст. Сразу после подачи смеси UF_6-N_2 на 10 с включался вентилятор.

Измерения концентраций UF_6 и образовавшегося в процессе гидролиза HF проводились по двум отдельным оптическим каналам. Для точного определения концентрации UF_6 и HF каждый канал снабжался реперными кюветами. Для анализа концентрации HF использовался перестраиваемый ДЛ с $\lambda \sim 1,31$ мкм (линия P2 HF), снабженный волоконным выводом излучения. Для анализа концентрации UF_6 , как и в случае измерения изотопного состава гексафторида урана, использовался такой же



a



b

Рис. 2. Принципиальная блок-схема ДЛ спектрометра для изучения гидролиза гексафторида урана и измерения следовых количеств UF₆ и HF (*a*) и вид установки (*b*). Обозначения см. рис. 1. Fire Ware – шины передачи данных

лазер с $\lambda \sim 7,68$ мкм (центр поглощения полосы $v_1 + v_3$ UF_6). Длина оптического пути детектирования для каждого из каналов составляла 1,5 м.

Для управления накачкой ДЛ, системами термостабилизации, а также для регистрации сигналов и последующей их обработки использовались платы ввода-вывода NI DAQ фирмы «National Instruments». Управление процессом измерения также осуществлялось программой, функционирующей в среде NI LabView 7,0.

Вакуумно-газовый стенд, изготовленный из нержавеющей стали, включал в себя газовые вентили типа ДУ-4 и ДУ-10, игольчатые натекатели, ресивер, систему напуска и сброса UF_6 , сосуды для хранения исследуемого газа, молекулярного фтора, HF и инертных газов, известковый химический поглотитель ХПИ, датчики измерения давления, а также оптические кюветы. Все уплотнения вентилей и других составляющих стендса были выполнены из тefлона. В связи с тем что UF_6 и HF обладают высокой химической активностью и благодаря этому взаимодействуют с внутренней поверхностью стендса, соединительного трубопровода и оптических кювет, последние тщательно пассивировались молекулярным фтором и самими исследуемыми газами при давлениях 50–70 мм рт. ст. Время пассивации составляло 6–7 сут. В интервалах между измерениями стенд находился под давлением UF_6 3–5 мм рт. ст.

Перед началом каждого очередного эксперимента образец UF_6 дополнитель но очищался последовательными операциями замораживания, откачки и оттаивания. Давление газа в стендсе, аналитических и реперных кюветах контролировалось одновременно дифференциальными датчиками давления ДП-5 и манометрами ВДГ. Дополнительная погрешность датчиков и манометров снималась непосредственно перед измерениями при давлении $\approx 10^{-2}$ мм рт. ст. корректировкой их показаний по показаниям манометрической лампы. Все измерения проводились при температуре окружающей среды 299 К и влажности 60%.

Оптические кюветы были изготовлены из нержавеющей стали с отполированными внутренними стенками. Оптическая длина кювет составляла 10 см. В качестве окон кювет использовались пластинки из дифторида бария (UF_6) и полиэтилена (HF) диаметром 40 мм. Окна уплотнялись витоном, который помещался в специальные тefлоновые «карманы» для минимизации взаимодействия витона с гексафторидом урана. Кювета была снабжена охлаждающим отростком («пальцем») для оперативной конденсации образцов из кюветы.

2. Результаты и их обсуждение

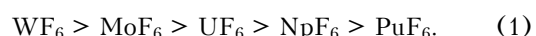
2.1. Краткая характеристика физико-химических свойств UF_6 и HF

Гексафторид урана в обычных условиях представляет собой белое кристаллическое вещество, которое при давлении 1 атм сублимирует при 56,5 °C (температура кипения UF_6 при атмосферном дав-

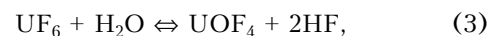
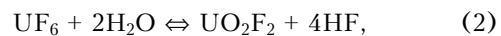
лении). Температура тройной точки UF_6 составляет 64,02 °C, при этом упругость паров гексафторида урана составляет 1134 мм рт. ст. Критическая температура равна (245 ± 5) °C, а критическое давление – 36 000 мм рт. ст. Гексафторид урана возгоняется без плавления. Давление UF_6 (P_{UF_6}) сильно зависит от температуры. Так, при 0 °C $P_{\text{UF}_6} = 17,8$; 25 °C – 112,7; 80 °C – 1830,0 мм рт. ст.

Важно отметить, что летучий UF_6 , представляющий собой наиболее химически активное соединение из всех известных фторсодержащих соединений урана, является одним из наиболее опасных компонентов аварийных выбросов на объектах ЯТЦ [1].

По своей реакционной способности UF_6 занимает промежуточное положение в ряду гексафторидов актинидов и элементов подгруппы хрома [11]:



В случае аварийного выброса UF_6 активно взаимодействует с атмосферной влагой, в результате чего образуются UO_2F_2 и диспропорционирующий до уранил-фторида UOF_4 . Процесс гидролиза гексафторида урана можно выразить следующими уравнениями:



При этом весьма важен тот факт, что после выброса (утечки) UF_6 в атмосферном воздухе в течение довольно длительного времени может оставаться свободный (непрореагировавший с атмосферной водой) гексафторид урана.

Фтористый водород – бесцветный газ, довольно легко превращаемый в жидкость, при этом температура сжижения HF равна 19,54 °C. При $T = -25$ °C давление паров HF составляет около 1 атм. В этих условиях HF существует в виде смеси мономеров и ассоциатов различного состава ((HF)₂, (HF)₃ и др.).

Молекулы мономера HF представляют собой двухатомные гетероядерные молекулы, характеризующиеся одним колебанием с частотой 4141 cm^{-1} (центр полосы). Однако фтористый водород полимеризуется как в конденсированной, так и в газовой фазе. В результате полоса валентного колебания HF при полимеризации заметно смещается в сторону низких частот и составляет 3962 cm^{-1} (центр полосы).

Молекулы фтористого водорода образуются практически на всех стадиях взаимодействия гексафторида урана и продуктов его гидролиза с парами воды, газообразными составляющими аварийного выброса и атмосферными газами. Хотя параметры молекулы HF достаточно хорошо известны и их можно найти практически во всех имеющихся спектроскопических базах данных (HITRAN, GEISA и др.), при решении задач лазерного контроля компонентов аварийного выброса использование этих данных может оказаться нецелесообразным. Это связано с тем, что молекулы HF при взаимодействии

с парами воды в атмосфере (содержание H_2O в атмосфере на малых высотах составляет от 0,02 до 4% масс.) могут образовывать устойчивые газофазные комплексы типа $(\text{HF})_n \dots (\text{H}_2\text{O})_n$ ($n + m \geq 2$) [1].

Эти газофазные комплексы, как правило, характеризуются несколькими видами движений большой амплитуды (ДБА) [12], что, в свою очередь, приводит к трансформации колебательных спектров составляющих их компонентов (спектральный сдвиг относительно свободных молекул может достигать нескольких десятков, а то сотен cm^{-1}) и появлению новых полос, отвечающих межмолекулярным колебаниям. Проведенные оценки величины изменения энталпии комплексообразования свидетельствуют о том, что энергия диссоциации таких комплексов может достигать 15 ккал · моль⁻¹ [1, 13–16].

2.2. Методика измерения степени обогащения UF_6 с использованием ДЛ среднего ИК-диапазона

Хорошо известно, что молекула UF_6 (симметрия O_h) имеет шесть нормальных колебаний, два из которых (v_3 и v_4) активны в ИК-спектре поглощения, а три колебания (v_1 , v_2 и v_5) активны в спектре КР. Колебание v_6 неактивно как в ИК-спектре, так и в спектре КР, и значение его частоты обычно или вычисляется из частоты составных полос, или же оценивается с помощью соотношения $v_6 = v_5\sqrt{2}$.

Значения частот основных колебательных полос поглощения молекул гексафторида урана приведены в табл. 1. Здесь же для сравнения представлены значения частот основных колебательных полос поглощения гексафторидов некоторых элементов актиноидов, а также элементов подгруппы хрома.

Из данных табл. 1 следует, что полосы поглощения, отвечающие основным дипольно-активным колебаниям как гексафторидных молекул элементов актиноидов, так и гексафторидных молекул элементов подгруппы хрома, лежат в достаточно далекой ИК-области, где нет подходящих диодных лазеров для их количественного анализа.

Анализ Фурье ИК-спектров пропускания кюветы позволил сделать несколько выводов, на основе которых была выбрана рабочая частотная область генерации используемого ДЛ в среднем ИК-диапазоне для измерения изотопного состава UF_6 , его следовых количеств, а также процесса гидролиза гексафторида урана в условиях, максимально приближенных к условиям реальной атмосферы.

1. Наблюдаемое уменьшение пропускания на длинноволновой части спектра обусловлено пропусканием окон кюветы (BaF_2), которые не прозрачны для $\nu < 700 \text{ cm}^{-1}$.

2. Существуют две области спектра – 1080–1230 и 1410–2500 cm^{-1} , в которых кювета также непрозрачна из-за поглощения нелетучих продуктов пасивации кюветы, осевших на ее окнах.

Таким образом, доступными для исследования спектроскопических параметров гексафторида урана в используемых кюветах являются три спектральных интервала: 766–1080; 1230–1410 и $> 2500 \text{ cm}^{-1}$.

Наименее информативной спектральной областью является $\nu > 2500 \text{ cm}^{-1}$. Здесь наблюдается поглощение водяного пара в интервале 3400–4000 cm^{-1} . Безусловно, водяного пара в кювете нет. Однако его достаточно много в оптическом тракте спектрометра, а содержание паров воды может изменяться в течение эксперимента. Другое существенное поглощение в области $\nu > 2500 \text{ cm}^{-1}$ обусловлено присутствием в кювете HF (3600–4300 cm^{-1}).

Диапазон 1200–1400 cm^{-1} содержит линии поглощения воды (1300–1400 cm^{-1}), а также две относительно узкие частично перекрывающиеся полосы поглощения UF_6 с максимумами при 1291 и 1254 cm^{-1} . В полосе 700–1100 cm^{-1} наблюдаются две узкие полосы поглощения UF_6 с максимумами 821 и 852 cm^{-1} .

В табл. 2 приведены значения частот и коэффициенты поглощения основных и некоторых составных колебательных полос поглощения UF_6 [17–19].

Из данных табл. 2 видно, что наиболее подходящей для данного случая является полоса $v_1 + v_3$. Это связано с тем обстоятельством, что полоса с максимумом 821 cm^{-1} относится к составному колебанию $v_3 + v_5$, которое имеет достаточно сложную симметрию ($F_{1u} + F_{2u} + A_{2u} + E_u$), что не позволяет с достаточной точностью определить изотопический сдвиг $^{235}\text{UF}_6 - ^{238}\text{UF}_6$.

Полоса поглощения UF_6 с максимумом при 852 cm^{-1} относится к составному колебанию $v_1 + v_4$ (симметрия F_{1u}), которое имеет изотопический сдвиг в четыре раза меньше, чем составное колебание $v_1 + v_3$ (симметрия F_{1u}).

Имеется лазер, перестройкой частоты которого можно накрыть практически всю полосу составного колебания $v_1 + v_3$. Как уже упоминалось, на этой полосе имеется изотопический сдвиг, примерно равный сдвигу на полосе v_3 . Коэффициент поглощения этой полосы хотя и ниже на два порядка по сравнению с коэффициентом полосы антисимметричного колебания v_3 (табл. 2), но все же достаточен для измерения спектров ИК-поглощения в кюветах длиной 10–15 см.

Таблица 1

Значения частот ($\nu, \text{ см}^{-1}$) основных колебательных полос поглощения некоторых молекул гексафторидов (симметрия O_h)

Молекула	$v_1 (A_{1g})$	$v_2 (E_g)$	$v_3 (F_{1u})$	$v_4 (F_{1u})$	$v_5 (F_{1g})$	$v_6 (F_{2u})$	Ссылка
UF_6	667	530	626	184	200	-	[1, 17, 19]
NpF_6	654	535	624	199	208	(164)	[18]
PuF_6	(628)	(523)	616	206	(211)	(173)	[18]
CrF_6	(720)	(650)	790	(266)	(309)	(110)	[18]
MoF_6	741,5	65,61	741,1	264	318	116	[18]
WF_6	771,0	677,2	711,0	258	321	(127)	[18]

Таблица 2

Значения частот (ν , см^{-1}) и коэффициенты поглощения (σ_0 , $(\text{атм} \cdot \text{см})^{-1}$) основных и некоторых составных колебательных полос поглощения UF_6

Тип колебания	ν , см^{-1}	σ_0 , $(\text{атм} \cdot \text{см})^{-1}$
v_3	626	350
$2v_3 + v_6$	1386 ± 2	$0,00175$
$v_1 + v_2 + v_6$	1341	$0,00875$
$v_1 + v_3$	$1290,9 \pm 0,5$	0,717
$2v_2 + v_6$	1211 ± 2	0,0007
$v_2 + v_3$	$1156,9 \pm 0,5$	0,822
$v_3 + 2v_6$	905 ± 2	0,0035
$v_1 + v_4$	$852,8 \pm 0,5$	0,122
$v_3 + v_5$	821	0,332
<i>Изотопический сдвиг, см^{-1}</i>	$^{235}\text{UF}_6 - ^{238}\text{UF}_6$	
v_1	0	
v_3	$0,65 \pm 0,09$	
v_4	$0,16 \pm 0,09$	

На рис. 3, а представлен спектр поглощения UF_6 на полосе $v_1 + v_3$. На рис. 3, б приведены экспериментальный спектр коэффициента поглощения гексафторида урана, а также модельные спектры $^{238}\text{UF}_6$ и $^{235}\text{UF}_6$.

Для измерения изотопной концентрации может использоваться участок спектра в диапазоне 1291–1293 см^{-1} , примерно совпадающий с правой частью Q -ветви $^{238}\text{UF}_6$ и достаточно точно совпадающий с максимумом Q -ветви $^{235}\text{UF}_6$.

Изменение относительной интенсивности полосы поглощения описывается следующей формулой:

$$T_i(\nu) = \frac{I_i}{I_0} = \exp[-A(\nu)] = \exp[-\sigma(\nu)PL]. \quad (5)$$

При измерении обогащенных образцов спектр меняется, причем изменение коэффициента поглощения описывается выражением

$$\Delta A = A - PL\sigma_{238} = PL(\sigma_{235} - \sigma_{238}). \quad (6)$$

Для того чтобы воспользоваться формулой (6) для расчета концентрации ^{235}U в гексафториде урана, необходимо с высокой точностью зарегистрировать функцию поглощения от частоты. Изменение формы полосы при росте концентрации ^{235}U в гексафториде урана незначительно, поэтому требуются точное измерение интенсивности поглощения и очень точная привязка по частоте, поскольку изотопный сдвиг мал, а полоса не имеет выраженной структуры. Именно по этой причине использовалась трехлучевая схема.

В результате макет прибора позволил измерять величину поглощения с точностью $\sim 1\%$ в привязке к частоте $\sim 10^{-4} \text{ см}^{-1}$. В принципе такая точность позволяет определить концентрацию $^{235}\text{UF}_6$ в гексафториде с такой же точностью, однако реальная точность значительно ниже из-за присутствия примесей, вносящих деформации в спектр. В любом случае макет прибора позволяет гарантированно отличать гексафторид урана природного состава от обо-

гашенного. Это подтверждает рис. 4, где представлен калибровочный тест газоанализатора изотопного отношения калибровочных проб UF_6 [МАГАТЭ, Сайсбердорф, Вена, 2002 г. (IAEA UF₆ Loop in Seibersdorf, Vienna)].

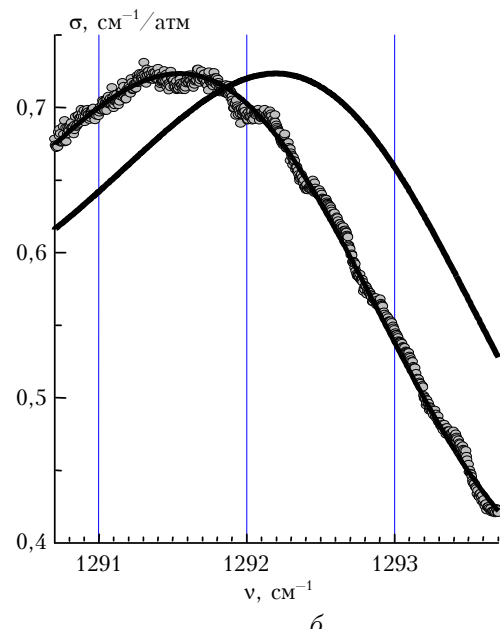
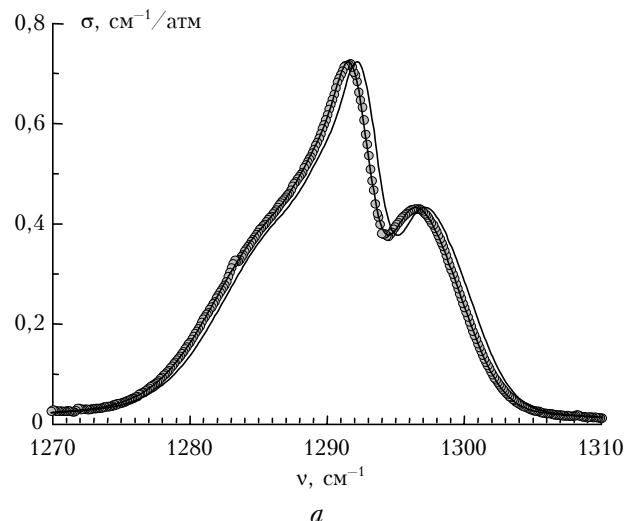


Рис. 3. Экспериментальный Фурье-спектр поглощения исследованного образца гексафторида урана (кружки), а также полученные модельные спектры $^{238}\text{UF}_6$ (сплошная) и $^{235}\text{UF}_6$ (пунктирная кривая) (а). Экспериментальный спектр поглощения гексафторида урана (кружки), а также модельные спектры $^{238}\text{UF}_6$ (сплошная кривая) и $^{235}\text{UF}_6$ (пунктирная кривая), записанные с помощью ДЛ (б)

Газоанализатор автоматически определял два параметра смеси: парциальное давление (рис. 4, а) и изотопический состав ^{235}U (рис. 4, б). Для калибровки прибора использовались три калибровочные смеси изотопомеров UF_6 – 0,73% ^{235}U ; 3,7% ^{235}U , 14,2% ^{235}U .

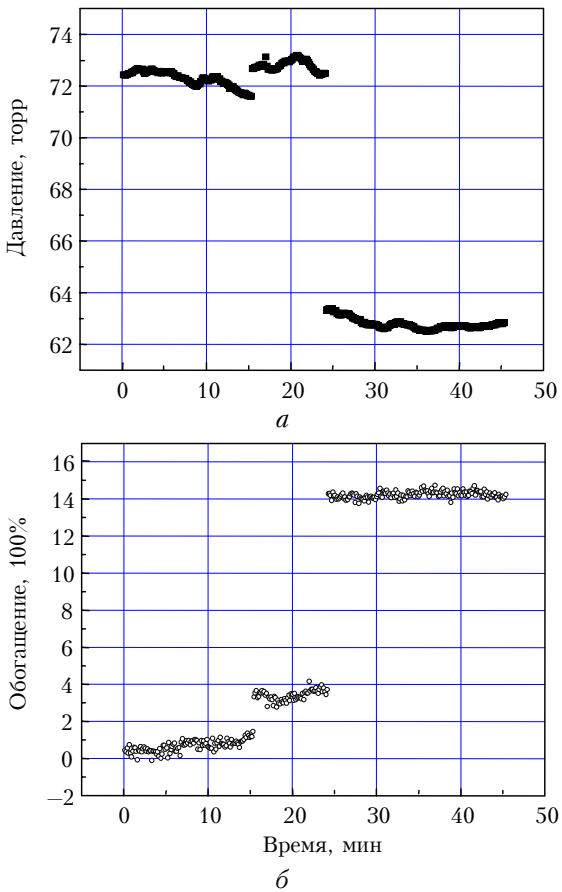


Рис. 4. Калибровочный тест газоанализатора изотопного отношения калибровочных проб UF_6

2.3. Определение следовых количеств гексафторида урана и фтористого водорода с использованием ДЛ ближнего и среднего ИК-диапазонов

Авторами данной статьи были разработаны аппаратные и программные средства для экспресс-измерения следовых количеств UF_6 и HF в условиях реальной атмосферы. Работа прототипов газоанализаторов основана на принципах диодной лазерной спектроскопии поглощения.

Для газового анализа HF использовалась многоходовая оптическая система Чернина с общей длиной оптического пути 39 м. Как уже упоминалось, параметры молекулы HF хорошо известны и их можно найти во всех имеющихся спектроскопических базах данных. Однако при решении задач лазерного контроля компонент аварийного выброса использование этих данных может оказаться нецелесообразным. Это связано с тем, что молекулы HF при взаимодействии с парами воды в атмосфере могут образовывать устойчивые газофазные комплексы типа $(\text{HF})_m \dots (\text{H}_2\text{O})_n$ ($n + m \geq 2$) (табл. 3).

Для анализа следовых количеств UF_6 использовался перестраиваемый эталоном интерферометр Фабри–Перо ДЛ с $\lambda \sim 7,68$ мкм (центр поглощения полосы $v_1 + v_3$ UF_6). Общая длина оптического пути детектирования (измерения UF_6) проводились в пред-

варительно запаянном закрытом боксе из нержавеющей стали) составляла 1,5 м.

Таблица 3
Значения экспериментальных ($v_{\text{эксп}}$)
и рассчитанных ($v_{\text{теор}}$) колебательных частот
для комплексов $(\text{HF})_m \dots (\text{H}_2\text{O})_n$ и их
предварительное отнесение [12, 16]

$v_{\text{эксп}}$	$v_{\text{теор}}$	Отнесение
3726 сл	3740	$\text{HF} \dots \text{H}_2\text{O}$,
	3720	$(\text{HF})_2 \dots \text{H}_2\text{O}$
	3740, 3750	$(\text{HF})_2 \dots (\text{H}_2\text{O})_2$, $(\text{HF})_3 \dots (\text{H}_2\text{O})_3$
	3670	$(\text{HF})_2 \dots (\text{H}_2\text{O})_2$
3676 пл	3690	$(\text{HF})_2 \dots \text{H}_2\text{O}$
3665 пл	3670	$(\text{HF})_2 \dots (\text{H}_2\text{O})_2$
3655 пл	3650	$\text{HF} \dots \text{H}_2\text{O}$
3643ср	3645, 3635	$(\text{HF})_2 \dots \text{H}_2\text{O}$
3625 с	3623	$\text{HF} \dots (\text{H}_2\text{O})_2$
3607 с	3610	$\text{HF} \dots \text{H}_2\text{O}$, $(\text{HF})_2 \dots \text{H}_2\text{O}$
3471 пл	3534	$(\text{HF})_2 \dots (\text{H}_2\text{O})_2$
3453 сл	3527	$(\text{HF})_2 \dots (\text{H}_2\text{O})_2$
3429 сл	3430	$(\text{HF})_2 \dots \text{H}_2\text{O}$
3403 сл	3425	$\text{HF} \dots (\text{H}_2\text{O})_2$
1620 пл	1622, 1628	$(\text{HF})_3 \dots (\text{H}_2\text{O})_3$,
1612ср	1607, 1610	$\text{HF} \dots (\text{H}_2\text{O})_2$
1594 пл	1601, 1600	$(\text{HF})_2 \dots \text{H}_2\text{O}$, $(\text{HF})_2 \dots (\text{H}_2\text{O})_2$
	1595	$(\text{HF})_2 \dots (\text{H}_2\text{O})_2$
	1590	$(\text{HF})_2 \dots (\text{H}_2\text{O})_2$
	1591	$\text{HF} \dots \text{H}_2\text{O}$, $(\text{HF})_2 \dots \text{H}_2\text{O}$

П р и м е ч а н и е . с – сильная,ср – средняя, сл – слабая полоса; пл – плечо.

Измеряемый порог концентраций для HF составил менее 2 ppb. При детектировании UF_6 минимальная величина зарегистрированного поглощения пересчитывалась на оптическую трассу длиной ~ 50 м и составила концентрацию ~ 250 ppb. Проведена оценка чувствительности газоанализатора на UF_6 при использовании квантово-каскадного ДЛ на 16 мкм (полоса поглощения v_3), которая на длине $L \sim 50$ м составила менее 30 ppt.

2.4. Изучение процесса гидролиза гексафторида урана

В ходе экспериментов было установлено, что после впрыска UF_6 в боксе происходило быстрое (≈ 2 с) перемешивание смеси $\text{UF}_6 - \text{N}_2$ с исходной атмосферой бокса. При этом давление UF_6 в боксе достигало 0,9 мм рт. ст. В течение 25 с давление UF_6 падало до 0,1–0,2 мм рт. ст., тогда как давление HF возрастало от 0 до ~ 4 мм рт. ст. Таким образом, приблизительно наблюдается баланс концентраций UF_6 и HF в процессе гидролиза, который описывается уравнением (2).

Предварительные результаты по изучению гидролиза гексафторида урана в условиях, приближенных к условиям реальной атмосферы, представлены на рис. 5.

Следующий этап работ в этой области, планируемых авторами данной статьи, – проведение экспериментов с использованием квантово-каскадных ДЛ с $\lambda = 16$ мкм ($v = 626 \text{ см}^{-1}$). Это позволит снизить

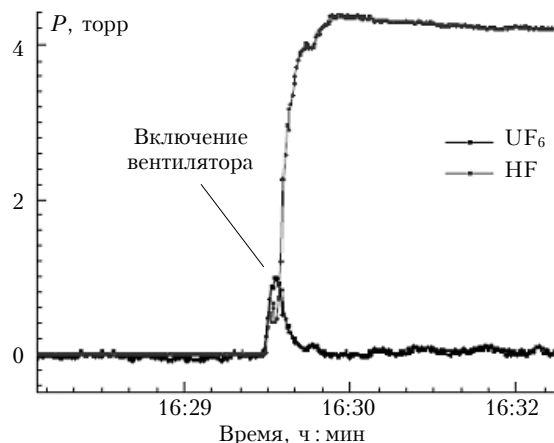


Рис. 5. Результаты эксперимента по гидролизу гексафторида урана

предел обнаружения UF_6 в реальной атмосфере до уровня нескольких десятков ppb, поскольку в этом диапазоне расположен центр полосы v_3 UF_6 , интегральный коэффициент поглощения в которой почти на три порядка превышает ту же величину для полосы $v_1 + v_3$ гексафторида урана.

Заключение

Использование принципов ДЛС позволяет с успехом проводить достаточно надежные и точные экспресс-измерения изотопного состава гексафторида урана при комнатной температуре, а также следовых количеств HF и UF_6 в условиях реальной атмосферы.

Создан и прокалиброван лабораторный макет на базе ДЛ, позволяющий измерять изотопный состав газообразного UF_6 при температурах, близких к комнатной, с погрешностью менее 0,27%.

Измеряемый порог концентраций для HF при использовании многоходовой кюветы С.М. Чернина и ДЛ ближнего ИК-диапазона (линия P2 полосы v_2 HF, $\lambda = 1,31 \text{ мкм}$) составил величину менее 2 ppb.

При детектировании UF_6 с использованием ДЛ среднего ИК-диапазона ($\lambda \sim 7,6 \text{ мкм}$) минимальная величина зарегистрированного поглощения пересчитывалась на оптическую трассу длиной $\sim 50 \text{ м}$ и составила концентрацию $\sim 250 \text{ ppb}$. Проведена оценка чувствительности газоанализатора на UF_6 при использовании ДЛ на 16 мкм (полоса поглощения v_3), которая на длине $L \sim 50 \text{ м}$ составила менее 30 ppb. Величины концентраций, полученные нами для исследованных молекул, являются приемлемыми для мониторинга атмосферы вблизи объектов атомной промышленности.

- Набиев Ш.Ш., Пономарев Ю.Н. Спектрохимические аспекты дистанционного лазерного контроля аварийных выбросов на объектах ядерного топливного цикла // Оптика атмосф. и океана. 1998. Т. 11. № 12. С. 1274–1280.
- Бабичев А.П., Григорьев Г.Ю., Малюгин С.Л., Набиев Ш.Ш., Надеждинский А.И., Понуровский Я.Я., Ставровский Д.Б. Измерение изотопического состава $^{12}\text{CO}_2/^{13}\text{CO}_2$ с использованием техники TDLS // Тезисы докл. IX Всерос. конф. «Физико-химические процессы при селекции атомов и молекул». Звенигород, 2004. С. 64.
- Надеждинский А.И., Понуровский Я.Я., Ставровский Д.Б., Григорьев Г.Ю., Набиев Ш.Ш. Измерение изотопического состава CO_2 и H_2O с использованием диодных лазеров ближнего ИК-диапазона // Тезисы докл. Всерос. конф. по аналитической химии «Аналитика России». М., 2004. С. 116.
- Надеждинский А.И., Понуровский Я.Я., Ставровский Д.Б., Григорьев Г.Ю., Набиев Ш.Ш. Экспресс-измерение изотопного состава воды с использованием диодных лазеров ближнего ИК-диапазона // Тезисы докл. Всерос. конф. по аналитической химии «Аналитика России». М., 2004. С. 124.
- Nadezhdin A., Ponurovskii Ya., Bosler G., Olsen R., Ryjikov V., Selivanov Yu., Gorshunov N., Grigoriev G., Nabiev Sh. UF_6 enrichment measurements using TDLS techniques // Сб. докл. на 8-й Всерос. конф. «Физико-химические процессы при селекции атомов и молекул». М.: ЦНИИАтоминформ, 2003. С. 245.
- Nadezhdin A., Ponurovskii Ya., Bosler G., Olsen R., Ryjikov V., Selivanov Yu., Gorshunov N., Grigoriev G., Nabiev Sh. UF_6 Enrichment Measurements Using TDLS Techniques // Abstr. of IV-th Int. Conf. on Tunable Diode Laser Spectros. Zermatt. Switzerland, 2003. P. 105.
- Nadezhdin A., Vyazov I., Moskalev T., Namestnikov D., Ponomarev Yu., Ponurovskii Ya., Stavrovskii D., Grigoriev G., Nabiev Sh. Diode laser based miniature detectors of UF_6 and HF trace quantities in atmosphere // Abstr. of X Intern. Symp. «Atmospheric and Ocean Optics. Atmosph. Phys.» Tomsk, 2004. С. 3.
- Надеждинский А.И., Понуровский Я.Я., Селиванов Ю., Григорьев Г.Ю., Набиев Ш.Ш., Бослер Г., Ольсен К., Рыжиков В. Измерение степени обогащения UF_6 с использованием техники TDLS // Тезисы докл. Всерос. конф. по аналитич. химии «Аналитика России». М., 2004. С. 124.
- Chizhevskii E.G., Kopylov V.V., Oskina S.I., Ponurovskii Ya.Ya., Selivanov Yu.G., Stepanov E.V., Trofimov V.T. Diode lasers of PbSnSe/PbEuSe grown by mbe // Proc. II Intern. Conf. On Tunable Diode Laser Spectroscopy. Russia. Moscow, 1998. P. 41.
- Надеждинский А.И., Понуровский Я.Я., Спиридонов М.В. Прецизионные измерения контура линии методами диодной лазерной спектроскопии // Квант. электрон. 1999. Т. 29. № 1. С. 78–82.
- Тананаев И.В., Николаев Н.С., Лукьяновичев Ю.А. и др. Химия фтористых соединений актинидов. М.: Изд-во АН СССР, 1963. 227 с.
- Зверева Н.А., Набиев Ш.Ш., Пономарев Ю.Н. Структура и свойства молекулярных комплексов воды с малыми газовыми составляющими атмосферы. Томск: Изд-во ИОА СО РАН, 2003. 139 с.
- Zvereva N.A., Nabiev Sh.Sh., Ponomarev Yu.N. The stable configurations of $(\text{H}_2\text{O})_n$ and $(\text{H}_2\text{O})_n(\text{HF})_m$ complexes in the atmosphere // Abstr. of the Intern. Symp. «Current Problems in Atmospheric Radiation». St-Petersburg, 2000. P. 141.
- Zvereva N.A., Nabiev Sh.Sh., Ponomarev Yu.N. Spectrochemical aspects of remote laser monitoring of radioactive discharges in the atmosphere // Abstracts of the NATO Advanced Research Workshop Spectroscopy From Space. Bratislava, 2000. P. 55.
- Nabiev Sh.Sh., Zvereva N.A., Ignatov S.K., Ponomarev Yu.N., Sennikov P.G., Starikov V.I., Firsov K.M., Fomin B.A., Zhitnitskii E.A. Structurally nonrigid

- Ставровский Д.Б. Измерение изотопического состава $^{12}\text{CO}_2/^{13}\text{CO}_2$ с использованием техники TDLS // Тезисы докл. IX Всерос. конф. «Физико-химические процессы при селекции атомов и молекул». Звенигород, 2004. С. 64.
3. Надеждинский А.И., Понуровский Я.Я., Ставровский Д.Б., Григорьев Г.Ю., Набиев Ш.Ш. Измерение изотопического состава CO_2 и H_2O с использованием диодных лазеров ближнего ИК-диапазона // Тезисы докл. Всерос. конф. по аналитической химии «Аналитика России». М., 2004. С. 116.
4. Надеждинский А.И., Понуровский Я.Я., Ставровский Д.Б., Григорьев Г.Ю., Набиев Ш.Ш. Экспресс-измерение изотопного состава воды с использованием диодных лазеров ближнего ИК-диапазона // Тезисы докл. Всерос. конф. по аналитической химии «Аналитика России». М., 2004. С. 124.
5. Nadezhdin A., Ponurovskii Ya., Bosler G., Olsen R., Ryjikov V., Selivanov Yu., Gorshunov N., Grigoriev G., Nabiev Sh. UF_6 enrichment measurements using TDLS techniques // Сб. докл. на 8-й Всерос. конф. «Физико-химические процессы при селекции атомов и молекул». М.: ЦНИИАтоминформ, 2003. С. 245.
6. Nadezhdin A., Ponurovskii Ya., Bosler G., Olsen R., Ryjikov V., Selivanov Yu., Gorshunov N., Grigoriev G., Nabiev Sh. UF_6 Enrichment Measurements Using TDLS Techniques // Abstr. of IV-th Int. Conf. on Tunable Diode Laser Spectros. Zermatt. Switzerland, 2003. P. 105.
7. Nadezhdin A., Vyazov I., Moskalev T., Namestnikov D., Ponomarev Yu., Ponurovskii Ya., Stavrovskii D., Grigoriev G., Nabiev Sh. Diode laser based miniature detectors of UF_6 and HF trace quantities in atmosphere // Abstr. of X Intern. Symp. «Atmospheric and Ocean Optics. Atmosph. Phys.» Tomsk, 2004. С. 3.
8. Надеждинский А.И., Понуровский Я.Я., Селиванов Ю., Григорьев Г.Ю., Набиев Ш.Ш., Бослер Г., Ольсен К., Рыжиков В. Измерение степени обогащения UF_6 с использованием техники TDLS // Тезисы докл. Всерос. конф. по аналитич. химии «Аналитика России». М., 2004. С. 124.
9. Chizhevskii E.G., Kopylov V.V., Oskina S.I., Ponurovskii Ya.Ya., Selivanov Yu.G., Stepanov E.V., Trofimov V.T. Diode lasers of PbSnSe/PbEuSe grown by mbe // Proc. II Intern. Conf. On Tunable Diode Laser Spectroscopy. Russia. Moscow, 1998. P. 41.
10. Надеждинский А.И., Понуровский Я.Я., Спиридонов М.В. Прецизионные измерения контура линии методами диодной лазерной спектроскопии // Квант. электрон. 1999. Т. 29. № 1. С. 78–82.
11. Тананаев И.В., Николаев Н.С., Лукьяновичев Ю.А. и др. Химия фтористых соединений актинидов. М.: Изд-во АН СССР, 1963. 227 с.
12. Зверева Н.А., Набиев Ш.Ш., Пономарев Ю.Н. Структура и свойства молекулярных комплексов воды с малыми газовыми составляющими атмосферы. Томск: Изд-во ИОА СО РАН, 2003. 139 с.
13. Zvereva N.A., Nabiev Sh.Sh., Ponomarev Yu.N. The stable configurations of $(\text{H}_2\text{O})_n$ and $(\text{H}_2\text{O})_n(\text{HF})_m$ complexes in the atmosphere // Abstr. of the Intern. Symp. «Current Problems in Atmospheric Radiation». St-Petersburg, 2000. P. 141.
14. Zvereva N.A., Nabiev Sh.Sh., Ponomarev Yu.N. Spectrochemical aspects of remote laser monitoring of radioactive discharges in the atmosphere // Abstracts of the NATO Advanced Research Workshop Spectroscopy From Space. Bratislava, 2000. P. 55.
15. Nabiev Sh.Sh., Zvereva N.A., Ignatov S.K., Ponomarev Yu.N., Sennikov P.G., Starikov V.I., Firsov K.M., Fomin B.A., Zhitnitskii E.A. Structurally nonrigid

- molecular complexes of water with atmospheric gases. Problems, approaches, solution // Abstr. of VIII Intern. Symp. Atmospheric and Ocean Optics. Atmospheric Physics. Irkutsk, 2001. P. 94.
16. Зверева Н.А., Набиев Ш.Ш., Надеждинский А.И., Пономарев Ю.Н., Ставровский Д.Б., Чернин С.М., Шубенкина Т.А. ИК-спектры фтористого водорода и его ассоциатов с водой в условиях реальной атмосферы // Оптика атмосф. и океана. 2001. Т. 14. № 2. С. 1099–1102.
17. McDowell R.S., Asprey L.B., Paine R.T. Vibrational spectrum and force field of uranium hexafluoride // J. Chem. Phys. 1974. V. 61. N 9. P. 3571.
18. Набиев Ш.Ш. Колебательные спектры и структура галогенидов металлов (Hal=F, Cl) в парообразном состоянии. Препр. / ИАЭ (М.) 1991. № 5310/12. 87 с.
19. Nabiev Sh.Sh., Klimov V.D. Infrared spectroscopy of fluoride molecules in noble gas solution/ Part 1. Octahedral molecules // Mol. Phys. 1994. V. 81. N 2. P. 395–408.

A.I. Nadezhdiniskii, Sh.Sh. Nabiev, G.Yu. Grigoriev, I.E. Vyazov, S.L. Malyugin, Yu.N. Ponomarev, Ya.Ya. Ponurovskii, D.B. Stavrovskii, D.A. Bolyasov. On rapid measurement of the enrichment degree of uranium hexafluoride and trace quantities of UF₆ and HF in the atmosphere based on near- and mid-IR diode lasers.

Application of diode-laser spectroscopy principles is shown to ensure reliable measurements of the isotopic content of gaseous uranium hexafluoride and trace quantities of HF and UF₆. A DL-based laboratory prototype that provides for measurements of gaseous UF₆ isotopic content with inaccuracy less than 0.27% has been built and calibrated.

The measurable concentration threshold for HF with the use of a Chernin multipass cell and a near-infrared range DL (v_2 band) is shown to be less than 2 ppb. For UF₆ detection with mid-IR DL ($\lambda \sim 7.6 \mu\text{m}$), the minimum value of the detected absorption was evaluated in terms of optical path ~ 50 m long and gave the concentration value of ~ 250 ppb. Assessment has been made of gas analyzer sensitivity to UF₆ with the use of 16 μm DL (v_3 absorption band), which turned out to be less than 30 ppt at $L \sim 50$ m. A conclusion has been drawn that the concentrations obtained for the molecules under study are suitable for atmospheric monitoring in the vicinity of atomic industry facilities.